

名古屋大学 正員。有住 康則
琉球大学 正員 浜田 純夫

1. まえがき 断続合成解析(ジベルを断続的に配置した合成解析)は、現在ほとんど実用化されていないが、AASHTO の示方書では、負の曲げを受ける部分でスラブ中の鉄筋の応力を無視するという条件で規定されている。しかし、これまでの研究から明らかのように、負の曲げを受けるスラブ中の鉄筋は、断続端に充分なジベルを配置すれば効果的に作用することが示されている。断続合成解析に関する研究に、前田らによる理論的、実験的研究がある。彼らの研究によると非合成区间と合成区间の境界附近でジベルに合成区间より相当大きい、水平せん断力が作用することが報告されている。本研究では、理論的に断続合成解析の曲げ性状を調べる。特に、ジベルが剛に作用する場合、桁の剛性と鉄筋の応力を求め、完全合成解析との比較検討を行うこととする。

2. 解析法 Fig.1, 2 に示すように連続ばかりの中間支点附近の曲げモーメントを仮定して、片持ばかりの自由端に集中荷重が作用したものとして解析する。部材 1, 2 と 3, 4 の二つの部材が節点 2, 4 で剛なジベルで連結され、スラブの曲げ剛性がないと仮定すると、釣り合の方程式は、

$$\frac{EI_s}{l^3} \begin{bmatrix} rs & 0 & 0 & 0 \\ 0 & s & 0 & 0 \\ 0 & 0 & 12 & -6l \\ 0 & 0 & -6l & 4l^2 \end{bmatrix} \begin{bmatrix} U_4 \\ U_2 \\ V_2 \\ V_2' \end{bmatrix} = \begin{bmatrix} 0 \\ 0 \\ P \\ 0 \end{bmatrix} \quad (1)$$

ここで、 $s = A_s / I_s$ $r = A_c / A_s$ である。また、節点 2, 4 が剛なジベルで連結されると、この仮定より、次の関係式が得られる。

$$U_4 = U_2 + V_2' a_y \quad (2)$$

よって、変位は、

$$U_2 = \frac{-r a_y P l^2}{2(1+r)(1+4s)EI_s} \quad V_2 = \frac{(1+s) P l^3}{(1+4s) 3EI_s} \quad (3)$$

$$V_2' = \frac{1}{(1+4s)} \frac{P l^2}{2EI_s}$$

ここで、 s は次に示すような断面の形状で与えられる定数である。

$$s = \frac{r A_s d_y^2}{4(1+r) I_s}$$

スラブの応力 σ_c^p は、中間にジベルが存在しないので次式で与えられる。

$$\sigma_c^p = \frac{E U_4}{l} = \frac{a_y P l}{2(1+r)(1+s) I_s} \quad (4)$$

式(3), (4)で与えられた断続合成解析の変位と応力は、完全合成解析のそ

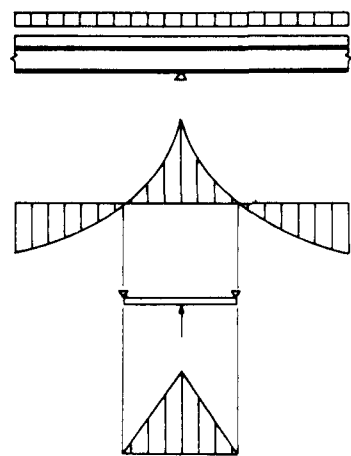


Fig.1 Bending Moment Diagrams for a Continuous Beam and Isolated Beam

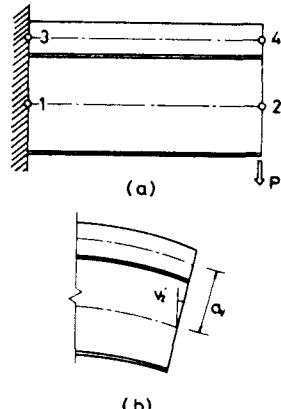


Fig.2 Nodal Points for the Analysis of a Partial Composite Beam

れと比較すると次のように示される。

$$\frac{V_2}{V_1} = 1 + \frac{r A_s a_y^2}{4(1+r)I_s} \quad , \quad \frac{V_2'}{V_2} = 1 \quad , \quad \frac{\sigma_c^p}{\sigma_c^c} = 1/2 \quad (5)$$

また、スラブに曲げ剛性がある場合(PC導入)には次のようになる。

$$\frac{V_2}{V_1} = 1 + \frac{r A_s a_y^2}{4(1+\mu)(1+r)I_s} \quad (6)$$

$$\frac{V_2}{V_2'} = 1 \quad , \quad \frac{\sigma_c^p}{\sigma_c^c} = 1/2$$

ここで、 $\mu = I_c/I_s$ である。一方、鋼析上下フランジの応力は、

$$\sigma_u^p = E \varphi y_u - \sigma_c^p A_c / A_s \quad (7)$$

$$\sigma_i^p = -E \varphi y_i - \sigma_c^p A_c / A_s$$

ここで、 $\varphi = (M - \sigma_c^p A_c a_y) / E(1+\mu) I_s$ である。

3. 計算結果 Table-1に実験結果との比較を示す。表から明らかな様に、実験値と理論値は比較的よく一致している。Fig.3に1tonの荷重が作用した場合の応力分布、および、有効スラブ断面積とスラブ応力、鋼析応力との関係を示す。図から明らかな様に、スラブに作用する応力は有効スラブ断面積に逆比例的に減少しており、また、鋼析下フランジの応力も僅に減少している。Fig.4に有効スラブ断面積と完全合成析とのたわみ比、および、応力比を示す。

4. あとがき 断続合成析について次のよう結論を得た。

(1) 断続合成析と完全合成析のたわみ比、および、応力比に関して、理論値は実験結果をよく説明できるものと考えられる。

(2) 断続合成析のスラブの応力は完全合成析のそれの1/2であり、理論上スラブに対してよ影響をもたらすものと考えられる。

(3) 断続合成析のスラブの応力が減少する割にはフランジの応力は上昇しない。

(4) 断続合成析のたわみ、および、下フランジの応力の完全合成析のそれに及ぼす比は、有効スラブ断面積が主に影響するものと考えられる。

Table 1 Experimental and Analytical Results for Deflection and Stress Ratios of a Partial Composite Beam to Complete Composite Beam

| Beam No. | A_c/A_s | Ratio of Deflection (Theory) | Ratio of Slab Stress (Theory) | Ratio of Lower Flange Stress (Theory) | Ratio of Ultimate Load (Theory) |
|----------|-----------|------------------------------|-------------------------------|---------------------------------------|---------------------------------|
| 4, 6 | 0.30 | 1.36 (1.22) | 0.46 (0.5) | 1.32 (1.16) | 0.97 (1.0) |
| 5, 7 | 0.44 | 1.17 (1.28) | — | 1.06 (1.18) | 0.90 (1.0) |
| 8, 9 | 0.44 | 1.31 (1.28) | 0.61 (0.5) | — | 0.93 (1.0) |

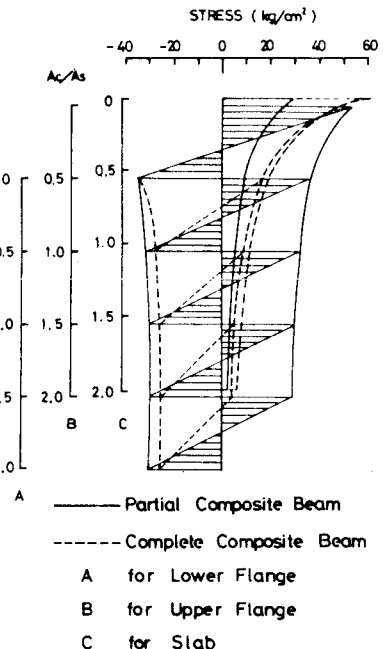


Fig.3 Stress Distribution and Relationships between A_c/A_s and Stresses

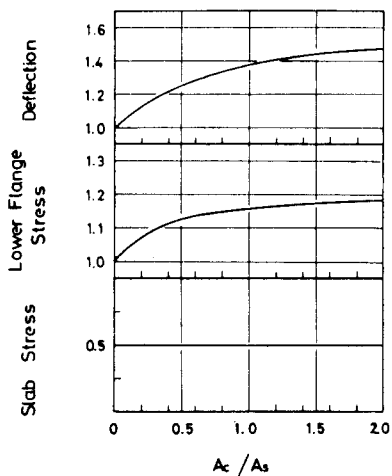


Fig.4 Stress and Deflection Ratios of Partial Composite Beam to Complete Composite Beam with Respect to Effective Slab Area